

## Параметры элементов для токов обратной и нулевой последовательностей

**Несимметричные режимы в электрических системах возникают вследствие несимметричных коротких замыканий или обрыва одной или двух фаз линии.** В первом случае **несимметрия называется поперечной**, во втором – **продольной**. При несимметрии напряжения и токи в фазах различны, углы сдвига одноименных векторов отличаются от  $120^\circ$ . Если для анализа несимметрии основываться на подходе, используемом для симметричных режимов, то потребовалось бы составлять трехфазную схему замещения и сформировать полную систему уравнений с учетом взаимоиндукции. Такой подход существенно усложняет решение задачи, особенно для синхронных машин.

Сравнительно просто и вместе с тем достаточно строго анализ несимметричных режимов осуществляется *методом симметричных составляющих*. Как будет показано ниже, вычисление токов и напряжений при несимметричных КЗ на базе метода симметричных составляющих сводится к вычислению этих величин при некотором фиктивном трехфазном коротком замыкании. Это представляет возможность вновь воспользоваться однолинейной схемой замещения и вести расчет на одну фазу. В этом одно из основных достоинств метода симметричных составляющих.

### 6.1. Метод симметричных составляющих

Известно, что произвольную несимметричную систему трех векторов тока  $I_A, I_B, I_C$  или напряжения можно однозначно разложить на три симметричные системы (см. рис. 6.1):

- $I_{a1}, I_{b1}, I_{c1}$  – систему токов **прямой последовательности**;
- $I_{a2}, I_{b2}, I_{c2}$  – систему токов **обратной последовательности**;
- $I_{a0}, I_{b0}, I_{c0}$  – систему токов **нулевой последовательности**.

Симметричная система токов прямой последовательности представляет три одинаковых по величине вектора с относительным сдвигом по фазе в  $120^\circ$ , вращающихся против часовой стрелки. Чередование фаз  $A, B, C$  принимается по часовой стрелке. Аналогичные условия имеем для обратной последовательности с чередованием фаз  $A, C, B$ . Система нулевой последовательности существенно отличается от прямой и обратной тем, что отсутствует сдвиг фаз.

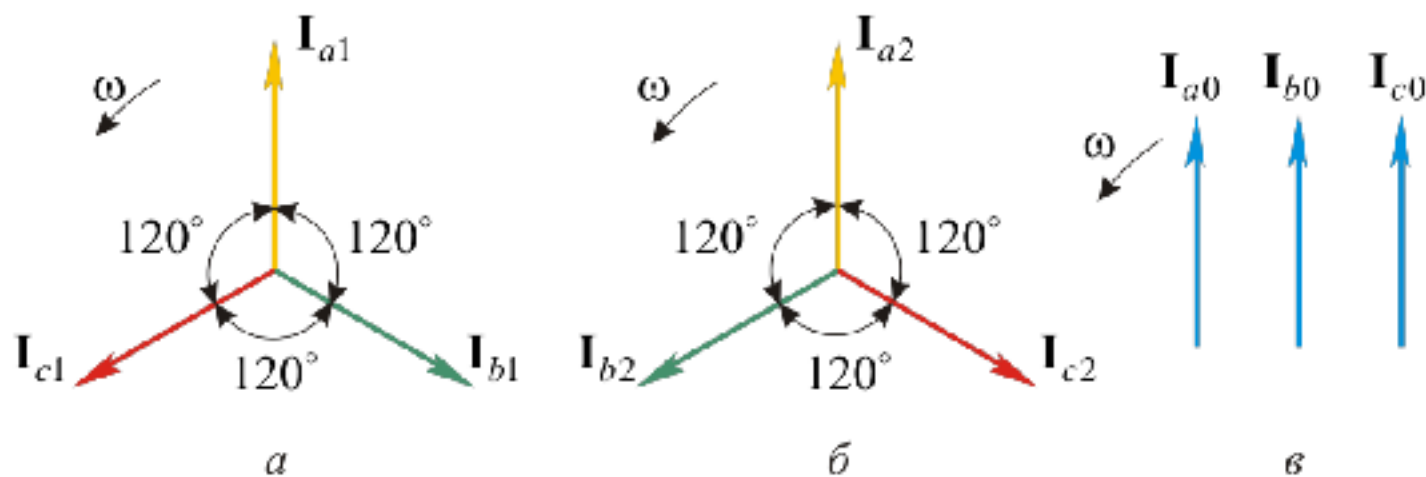


Рис. 6.1. Симметричная система токов прямой (а), обратной (б) и нулевой (в) последовательностей

Нулевая система токов, по существу, представляет три однофазных тока, для которых три провода трехфазной цепи представляют прямой провод, а обратным проводом служит земля или четвертый (нулевой), по которому возвращается  $3I_0$ .

Согласно условию разложения несимметричной системы токов  $I_A, I_B, I_C$  на три симметричные системы имеем:

$$\left. \begin{aligned} I_A &= I_{a1} + I_{a2} + I_{a0}; \\ I_B &= I_{b1} + I_{b2} + I_{b0}; \\ I_C &= I_{c1} + I_{c2} + I_{c0}. \end{aligned} \right\} \quad (6.1)$$

Введем комплексное число  $a$ , называемое *оператором фазы*:

$$a = e^{j120^\circ} = -\frac{1}{2} + j\frac{\sqrt{3}}{2}.$$

Этот вектор единичной длины имеет аргумент, равный  $120^\circ$ . Если некоторый вектор, например  $I_{a1}$ , умножить на  $a$ , то это означает повернуть  $I_{a1}$  на  $120^\circ$  против часовой стрелки, т.е.

$$aI_{a1} = I_{c1}.$$

Для оператора фазы справедливы отношения:

$$a^2 = e^{j240^\circ} = -\frac{1}{2} - j\frac{\sqrt{3}}{2}, \quad a^3 = 1, \quad a + a^2 + a^3 = 0.$$

Принимая фазу  $A$  за основную, можно с помощью оператора  $a$  выразить токи фаз  $B$  и  $C$  через ток фазы  $A$ . Это позволяет в формулах (6.1) использовать только систему векторов фазы  $A$ :

$$I_A = I_{a1} + I_{a2} + I_0; \quad (6.2)$$

$$I_B = a^2 I_{a1} + a I_{a2} + I_0; \quad (6.3)$$

$$I_C = a I_{a1} + a^2 I_{a2} + I_0. \quad (6.4)$$

Здесь, в силу равенства  $I_{a0} = I_{b0} = I_{c0}$ , индекс фазы у нулевой последовательности вообще упущен. Уравнения (6.2) – (6.4) позволяют определить несимметричную систему токов при известных симметричных составляющих. Обратная задача заключается в нахождении симметричных составляющих токов для заданной несимметричной системы. Эта зависимость получается решением уравнений (6.2) – (6.4) относительно симметричных составляющих токов:

$$I_{a1} = \frac{1}{3}(I_A + aI_B + a^2I_C); \quad (6.5)$$

$$I_{a2} = \frac{1}{3}(I_A + a^2I_B + aI_C); \quad (6.6)$$

$$I_0 = \frac{1}{3}(I_A + I_B + I_C). \quad (6.7)$$

Все приведенные соотношения в равной мере справедливы и для напряжений.

Системы прямой и обратной последовательностей являются симметричными и уравновешенными; система нулевой последовательности является симметричной, но неуравновешенной. Из соотношения (6.7) следует, что сумма трех несимметричных векторов тока равна утроенному току нулевой последовательности:

$$3I_0 = I_A + I_B + I_C \quad (6.8)$$

который протекает (возвращается) в земле или по нулевому проводу.

Элементы электрической системы обладают конструктивной симметрией, что отражается в равенстве их фазных сопротивлений:

$$Z_A = Z_B = Z_C. \quad (6.9)$$

При выполнении этих условий справедлив принцип **независимости действия симметричных составляющих**. Для воздушных линий соблюдение условия (6.9) достигается транспозицией проводов.

**Суть этого принципа состоит в том, что в трехфазной системе с симметричными элементами напряжение какой-либо последовательности вызывает протекание тока только одноименной последовательности. Точно также ток одной из последовательностей вызывает падение напряжения только своей последовательности, т. е.**

$$\Delta U_1 = I_1 Z_1, \quad \Delta U_2 = I_2 Z_2, \quad \Delta U_0 = I_0 Z_0. \quad (6.10)$$

Можно сказать, что электрические контуры как бы обладают отдельными каналами избирательности прямой, обратной и нулевой последовательностей, по которым могут протекать токи лишь соответствующих последовательностей. **Выполнение принципа независимости действия симметричных составляющих практически очень важно, поскольку позволяет каждую последовательность рассматривать независимо (автономно) от других последовательностей.**

Из условия (6.10) следует, что один и тот же элемент в общем случае оказывает разные сопротивления при протекании по нему тока прямой, обратной или нулевой последовательности. Это характерно для трехфазной сети, в которой проявление взаимной индуктивности между фазами зависит от протекающей последовательности токов.

По своей природе синхронные машины генерируют симметричную систему векторов ЭДС только прямой последовательности, а ЭДС обратной и нулевой последовательностей равны нулю. При несимметричном КЗ по месту повреждения возникают несимметричные напряжения, которые можно представить как геометрическую сумму симметричных составляющих напряжений  $U_{K1}$ ,  $U_{K2}$ ,  $U_{K0}$ . В соответствии с этим для эквивалентных однолинейных схем прямой, обратной и нулевой последовательностей (рис. 6. 2.) уравнения второго закона Кирхгофа можно записать в следующем виде:

$$U_{K1} = E_\Sigma - I_{K1} j x_{1\Sigma}; \quad (6.11)$$

$$U_{K2} = 0 - I_{K2} j x_{2\Sigma}; \quad (6.12)$$

$$U_{K0} = 0 - I_{K0} j x_{0\Sigma}, \quad (6.13)$$

где  $U_{K1}, U_{K2}, U_{K0}$ ,  $I_{K1}, I_{K2}, I_{K0}$

– симметричные составляющие напряжения и тока в месте КЗ;

$E_\Sigma$  – результирующая ЭДС схемы прямой последовательности относительно точки КЗ;

$X_{1\Sigma}, X_{2\Sigma}, X_{0\Sigma}$  – результирующие реактивности схем соответствующих последовательностей относительно точки короткого замыкания.

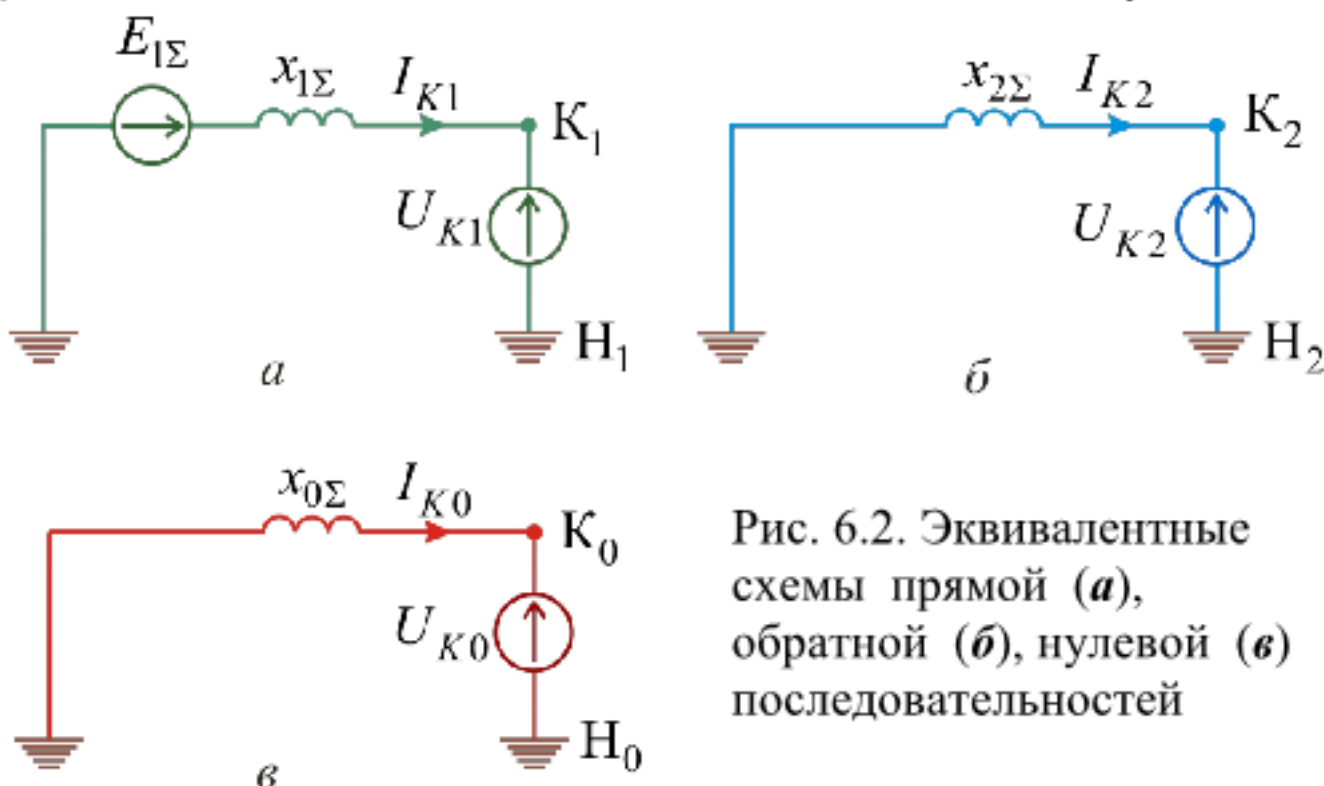


Рис. 6.2. Эквивалентные схемы прямой (а), обратной (б), нулевой (в) последовательностей

Из уравнений (6.12), (6.13) следует, что токи обратной и нулевой последовательностей определяются соответственно только напряжениями обратной и нулевой последовательностей в точке короткого замыкания.

Система уравнений (6.11) – (6.13) содержит шесть неизвестных: три симметричных составляющих напряжения и три симметричных составляющих тока. Недостающие для расчета этих величин уравнения (три) получают из граничных условий для конкретного вида нарушения симметрии.

## 6.2. Сопротивления обратной и нулевой последовательностей для элементов электрической системы

Каждый элемент электрической системы при расчетах несимметричных режимов характеризуется **сопротивлениями прямой, обратной и нулевой последовательностей**. Все сопротивления элементов системы, которыми они представлялись в расчетах симметричного трехфазного КЗ, являлись сопротивлениями прямой последовательности.

При отсутствии взаимоиндукции между фазами элемента его реактивные сопротивления прямой, обратной и нулевой последовательностей одинаковы, т. к. они обусловлены только собственной индуктивностью фазы. Это условие справедливо только для **реактора**, т. е.

$$X_1 = X_2 = X_0, \quad r_1 = r_2 = r_0$$

При наличии магнитной связи между фазами реактивное сопротивление силового элемента определяется с учетом этого влияния, которое зависит от последова-

тельности протекающих токов. Для элемента, магнитно-связанные цепи которого не-подвижны относительно друг друга (*трансформаторы, воздушные и кабельные линии*), **сопротивления прямой и обратной последовательностей равны**, т. к. от перемены чередования фаз влияние взаимной индукции не изменяется

$$(X_1 = X_2, r_1 = r_2).$$

Реактивное сопротивление нулевой последовательности элементов резко отличается от реактанса прямой последовательности в силу иного проявления взаимоиндукции при протекании токов нулевой последовательности. Это отличие обусловлено тем, что токи нулевой последовательности совпадают по фазам.

### 6.2.1. Синхронные машины

Токи обратной последовательности создают магнитный поток, который перемещается в пространстве встречно вращению ротора, т. е. их взаимное перемещение происходит с двойной угловой скоростью ( $2\omega$ ). Следовательно, поток обратной последовательности при своем перемещении встречает различное магнитное сопротивление, которое колеблется в пределах сопротивлений в продольной и поперечной осях машины. Этим условиям соответствуют расчетные выражения соответственно для машин с демпферными обмотками и без них.

$$x_2 = \frac{2x_d''x_q''}{x_d'' + x_q''}, \quad x_2 = \frac{2x_d'x_q}{x_d' + x_q} \quad (6.14)$$

Значения  $x_2$  приводятся в каталогах и справочниках как паспортный параметр машины. При отсутствии этих данных в качестве приближенных значений можно принимать для машин с успокоительными обмотками

$$x_2 = 1.22x_d''$$

и для явнополюсных машин без успокоительных обмоток  $x_2 = 1.45x_d'$ .

**В приближенных практических расчетах обычно идут на дополнительное упрощение, полагая для турбогенераторов и машин с продольно-поперечными успокоительными обмотками  $x_2 \approx x_d''$ .**

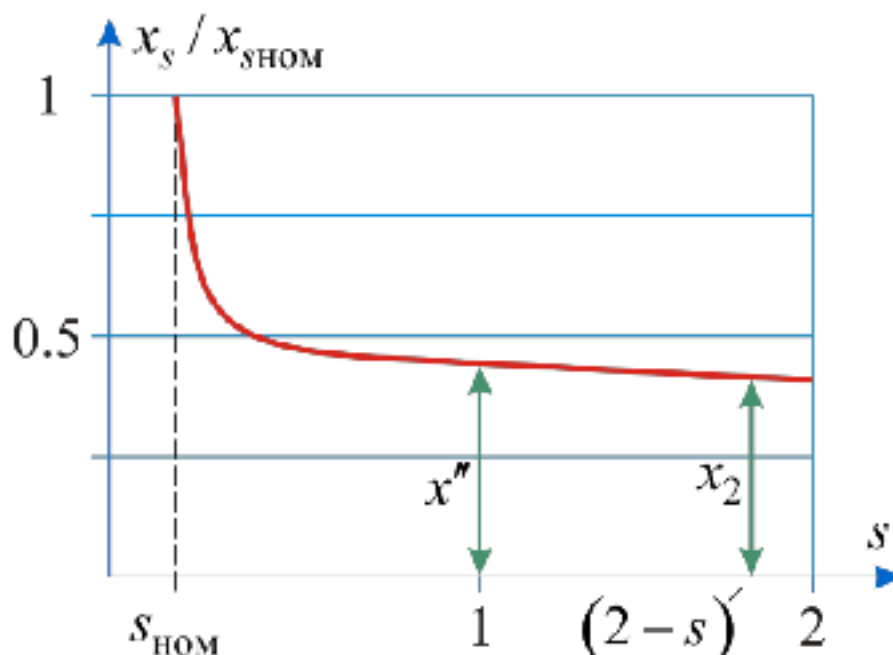
Токи нулевой последовательности в фазах статорной цепи создают одинаковые по величине магнитные потоки. В силу физического сдвига обмоток фаз на  $120^\circ$  магнитные потоки нулевой последовательности в пространстве также сдвинуты на  $120^\circ$  и их результирующее значение в расточке машины равно нулю и реакции ротора не вызывает. Реактивное сопротивление нулевой последовательности синхронных машин определяется только сопротивлением рассеяния ( $x_\sigma$ ), причем по значению оно меньше, чем в прямой последовательности. Это уменьшение зависит от типа обмотки, из-за чего реактанс нулевой последовательности колеблется в широком диапазоне:

$$x_0 = (0,15 \div 0,6) x_d'' .$$

### 6.2.2. Асинхронные двигатели и обобщенная нагрузка

По отношению к магнитному потоку обратной последовательности ротор асинхронного двигателя имеет скольжение  $s_{(2)} = 2 - s$ . Зависимость относительной реактивности асинхронного двигателя от скольжения показана на рис. 6.3. С ростом скольжения реактивное сопротивление  $x_s$  вначале резко падает. В интервале скольжения от  $s=1$  до  $s=2-s_{\text{ном}}$  изменение сопротивления  $X_S$  мало, поэтому можно считать, что

$$x_2 \approx x_{s=1} = x''$$



т. е. реактивность обратной последовательности  $x_2$  равна его так называемой реактивности КЗ (сверхпереходной реактивности).

Сопротивление нулевой последовательности асинхронного двигателя практически равно реактивности рассеяния статорной обмотки. Оно зависит от типа и конструкции двигателя и должно определяться опытным путем или по данным завода-изготовителя.

Рис. 6.3 К определению  $x_2$  асинхронного двигателя

**Для обобщенной нагрузки**, состоящей преимущественно из асинхронных двигателей, сопротивление обратной последовательности равно сопротивлению прямой последовательности, т. е.  $X_2 = 0,35$ . Она отнесена к полной рабочей мощности нагрузки ( $S_{\text{наг}}$ ) и среднему номинальному напряжению ( $U_{\text{ср}}$ ) той ступени, к которой она присоединена. Сопротивление нулевой последовательности обобщенной нагрузки определяется параметрами сети и трансформаторов, входящих в ее состав, и может быть получено только на основе прямого эквивалентирования.

### 6.2.3. Трансформаторы и автотрансформаторы

Реактивное сопротивление нулевой последовательности трансформаторов зависит от двух факторов:

- 1) конструктивного исполнения;
- 2) схемы соединения обмоток.

По конструктивному исполнению трехфазные трансформаторы подразделяются на *трех-, четырех-, пятистержневые и группу из трех однофазных*.

По типу соединения обмоток различают соединение *в треугольник ( $\Delta$ )*, *звезду с изолированной нейтралью ( $Y$ )*, *звезду с заземленной нейтралью ( $Y_0$ )*. У трансформаторов небольшой мощности вторичные обмотки напряжением 0.4 кВ иногда соединяют в *зигзаг ( $Z$ )*. Особенности таких трансформаторов изложены в работе [8].

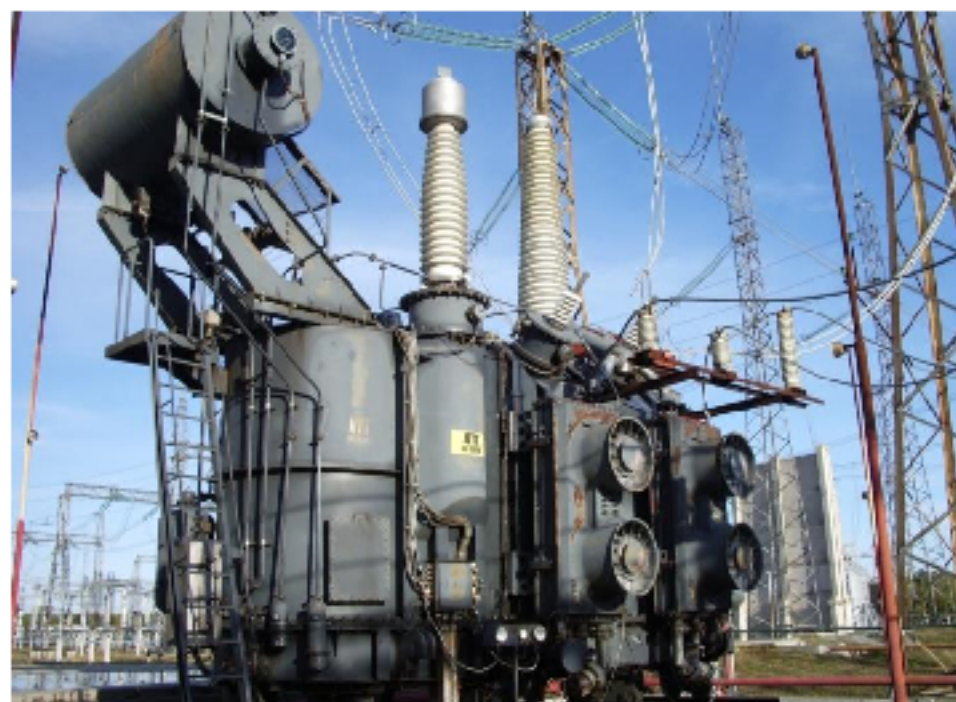


Фото 17. Автотрансформатор 500/121/11 кВ



Фото 18. Двухобмоточный трансформатор 500/121 кВ



Фото 19. Трансформатор ТМГ 1600 кВА 10/04 кВ



Фото 20. Комплектная трансформаторная п/ст 6/0,4 кВ



Фото 21. Трансформатор 6/0,4 кВ в ячейке комплектного распределительства

Прежде всего выясним, в какой мере влияет каждый из названных факторов на величину реактанса нулевой последовательности.

**1. Конструкция трансформаторов влияет на величину сопротивления ветви намагничивания  $X_{\mu 0}$  схемы замещения нулевой последовательности (рис. 6.4, а),** которое определяется током намагничивания  $I_{\mu 0}$ . Результирующий поток намагничивания нулевой последовательности  $\Phi_{\mu 0}$ , в отличие от  $\Phi_{\mu 1}$ , требует наличия замкнутого контура. В группе из трех однофазных трансформаторов, четырех - и пятистержневых трансформаторов это условие обеспечивается за счет свободного от обмоток стержня магнитопровода, поэтому для указанных конструкций ток намагничивания нулевой последовательности  $I_{\mu 0}$  столь же мал, что и ток намагничивания  $I_{\mu 1}$  ( $I_{\mu 0} = I_{\mu 1} = 0,5 \div 2\%$ ). Следовательно, реактивность ветви намагничивания составит  $X_{\mu 0*} \approx 1/0,01 = 100$ . Величина  $X_{\mu 0}$  на 3, 4 порядка превосходит сопротивления рассеяния обмоток трансформатора ( $X_{l*} = X_{l1*} = 0,06$ ). Это позволяет считать  $X_{\mu 0} = \infty$ .

Иные условия имеют место в трехфазных трехстержневых трансформаторах, где магнитные потоки нулевой последовательности вынуждены замыкаться через воздушную среду и кожух трансформатора. Это приводит к увеличению  $I_{\mu 0}$  и соответственно к снижению  $X_{\mu 0*} \approx 0,3 \div 1,0$ ). Но учитывая, что сопротивление рассеяния обмоток значительно меньше  $X_{\mu 0}$ , для мощных трансформаторов напряжением 10 кВ и выше практически считают  $X_{\mu 0} = \infty$ . И лишь для маломощных

трансформаторов такой конструкции напряжением 6 /0.4, 10/0.4 кВ значение  $X_{\mu 0}$  учитывают как конечную величину (табл. П. 3).

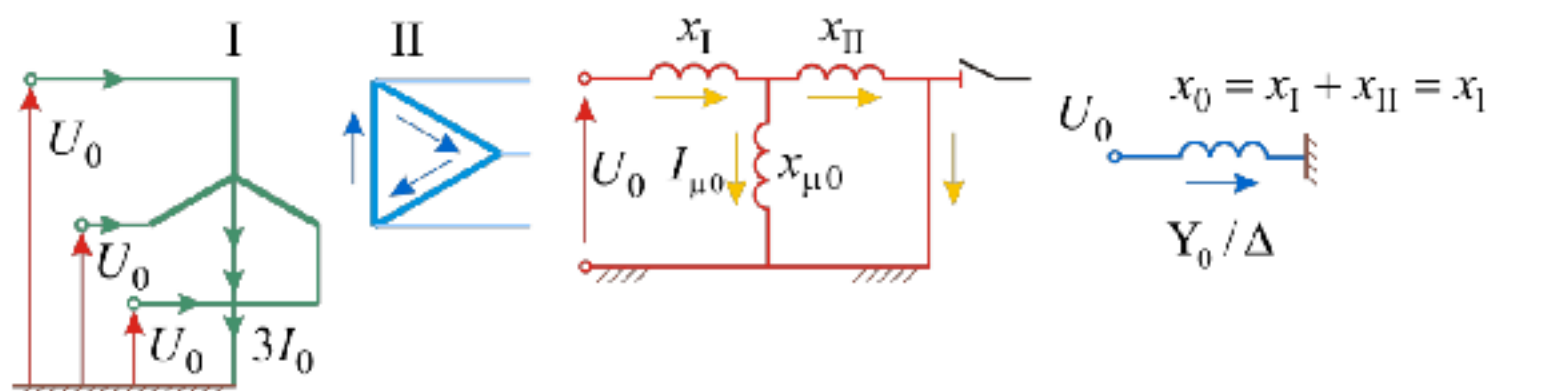
**2. Рассмотрим влияние схемы соединения обмоток трансформатора на реактивность  $X_0$ .** При коротком замыкании со стороны обмотки, соединенной в «треугольник» ( $\Delta$ ) или «звезду» без заземленной нейтрали ( $Y$ ), сопротивление нулевой последовательности трансформатора бесконечно велико ( $X_0 = \infty$ ). При этих условиях вообще исключена возможность циркуляции тока нулевой последовательности в данном трансформаторе, независимо от схемы соединения его других обмоток. **Конечная величина  $X_0$  возможна только в том случае, когда КЗ происходит со стороны обмотки трансформатора, соединенной в «звезду» с заземленной нейтралью ( $Y_0$ ).**

Обратимся к количественной оценке реактанса нулевой последовательности трансформаторов и их схем замещения. Считаем, что несимметричное КЗ происходит со стороны обмотки, соединённой по схеме ( $Y_0$ ).

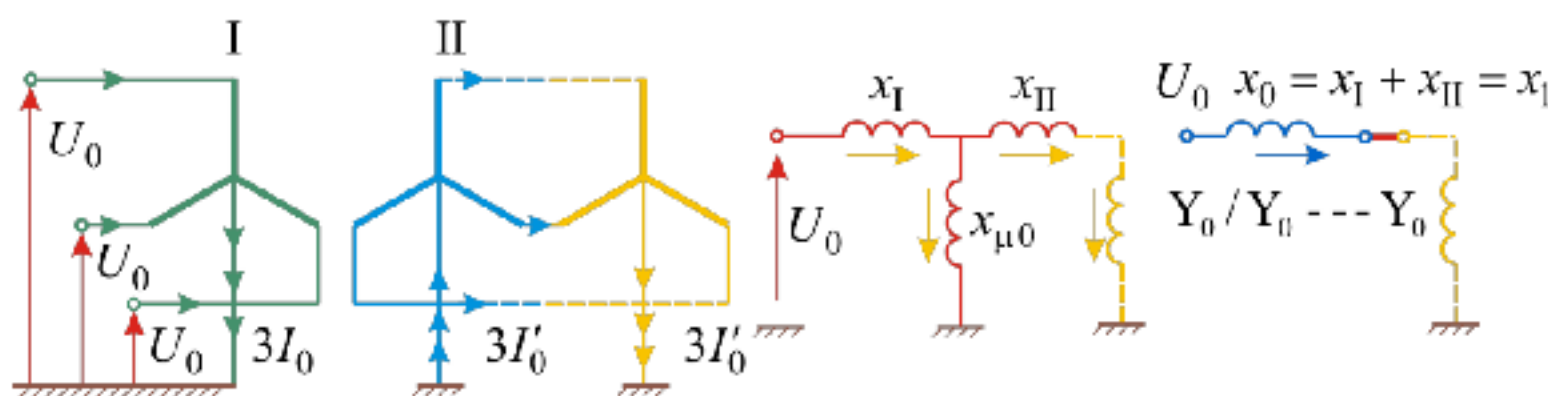
На рис. 6.4 – 6.6 слева изображены принципиальные трехфазные схемы соединения обмоток трансформаторов (автотрансформаторов), справа – однолинейные схемы замещения нулевой последовательности. В этих схемах каждая обмотка представлена своим сопротивлением рассеяния ( $x_I$ ,  $x_{II}$ ,  $x_{III}$ ) и реактивностью ветви намагничивания нулевой последовательности ( $X_{\mu 0}$ ). При определении путей протекания тока  $I_0$  следует иметь в виду, что все фазы находятся в одинаковых условиях (симметричный режим) и со стороны КЗ ( $Y_0$ ) к каждой из них приложено  $U_0$ .

**1. В двухобмоточном трансформаторе со схемой обмоток  $Y_0 / \Delta$  (рис. 6.4, а)** напряжение нулевой последовательности вторичных обмоток будет вызывать токи, которые подобно токам третьей гармоники протекают только в этих обмотках, не выходя за их пределы. Завершение пути тока нулевой последовательности на ветви  $x_{II}$  на схеме замещения отражается ее закорачиванием на обратный провод (землю). Поскольку относительно большое сопротивление  $x_{\mu 0}$  шунтируется малым сопротивлением  $x_{II}$ , независимо от конструкции трансформатора с соединением обмоток  $Y_0 / \Delta$  сопротивление  $x_0$  принимается равным сопротивлению прямой последовательности  $x_I$ , т. е.

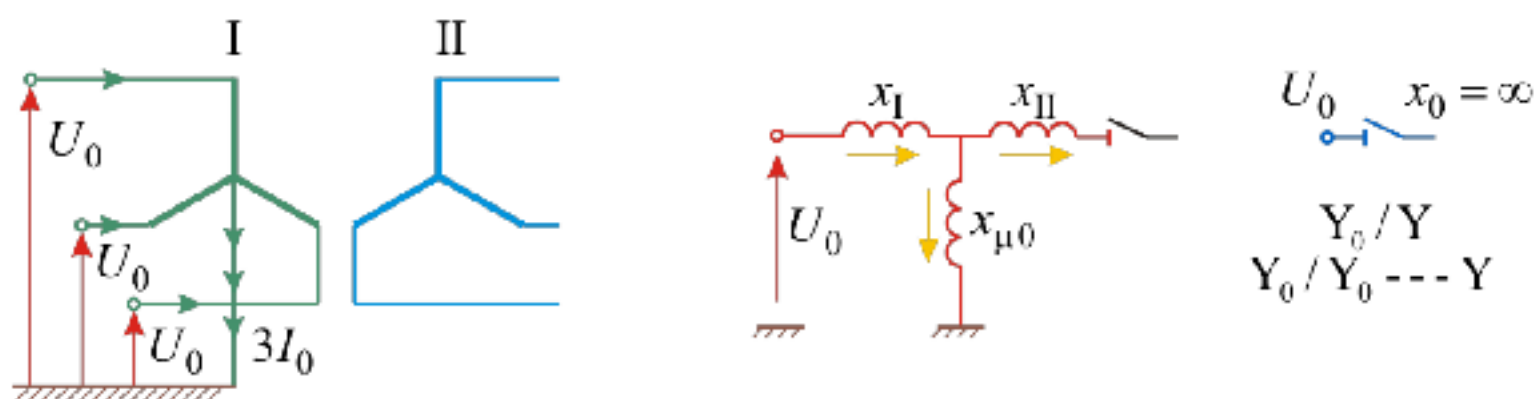
$$(Y_0/\Delta) \quad x_0 \approx (x_I + x_{II}) = x_I. \quad (6.15)$$



*a*



*b*



*c*

Рис. 6.4. Двухобмоточные трансформаторы. Схемы замещения нулевой последовательности для различных вариантов соединения обмоток

**2. При соединении обмоток по схеме  $Y_0 / Y_0 -- Y_0$  (рис. 6.4, б)** предполагается, что на стороне обмотки II путь циркуляции токов обеспечен наличием по крайней мере еще одной заземленной нейтрали (штриховая линия). Принимая для любой конструкции  $x_{\mu 0} = \infty$ , имеем:

$$(Y_0 / Y_0 -- Y_0) \quad x_0 \approx (x_I + x_{II}) = x_1.$$

**3. При соединении обмоток по схеме  $Y_0 / Y_0 -- Y$**  без дополнительно заземленной нейтрали со стороны обмотки II схема этого трансформатора будет такой же, как и при соединении обмоток по схеме  $Y_0 / Y$  (рис. 6.4, в), что соответствует режиму холостого хода трансформатора. При этих условиях

$$(Y_0/Y_0 - Y \text{ или } Y_0/Y) \quad x_0 = x_I + x_{\mu 0} = \infty.$$

Схемы замещения трехобмоточных трансформаторов (**рис. 6.5**) строятся по тому же принципу, что и для двухобмоточных. В трехобмоточных трансформаторах одна из обмоток, как правило, соединена в «треугольник». Сопротивление рассеяния этой обмотки с малой реактивностью шунтирует ветвь  $x_{\mu 0}$ , что позволяет независимо от конструкции принимать  $x_{\mu 0} = \infty$ . По этой причине в схемах замещения эта ветвь не приведена.

**4. При соединении обмоток трехобмоточного трансформатора по схеме  $Y_0/\Delta/Y_0 - Y_0$  (рис. 6.5, а)** на стороне обмотки **III** предполагается наличие еще одной заземленной нейтрали, что обеспечивает контур для токов нулевой последовательности. Таким образом, все три обмотки обтекаются током и **трансформатор представляется полной схемой замещения**.

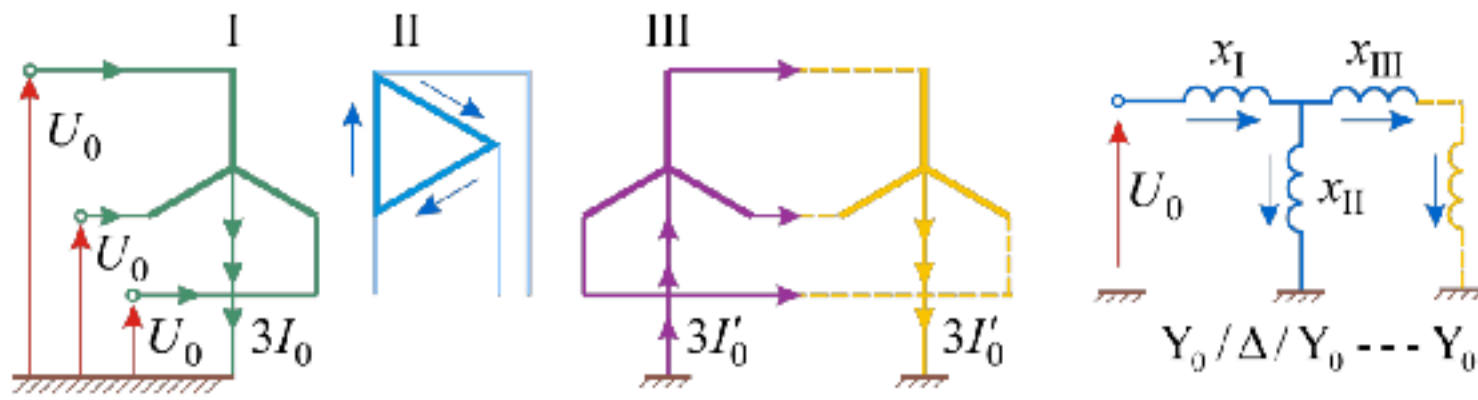
**5. При соединении обмоток по схеме  $Y_0/\Delta/Y$  (рис. 6.5, б)** ток в контуре **III** отсутствует, а схема замещения представляется только обмотками **I** и **II**:

$$(Y_0/\Delta/Y) \quad x_0 = x_I + x_{II} = x_{I-II}.$$

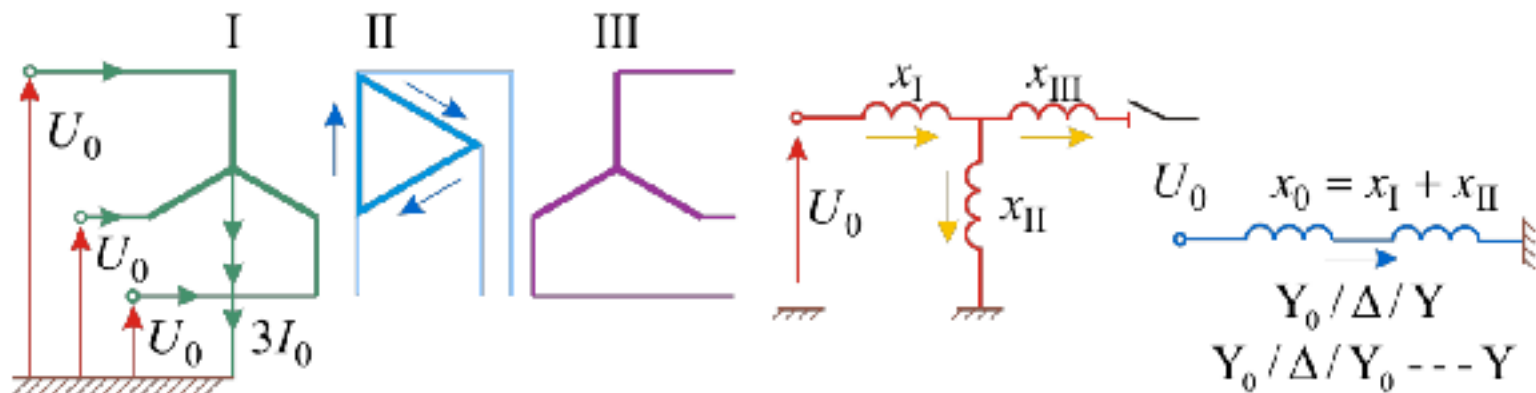
**6. Для схемы  $Y_0/\Delta/\Delta$  (рис. 6.5, в)** вполне очевидно, что

$$Y_0/\Delta/\Delta) \quad x_0 = x_I + x_{II} // x_{III}.$$

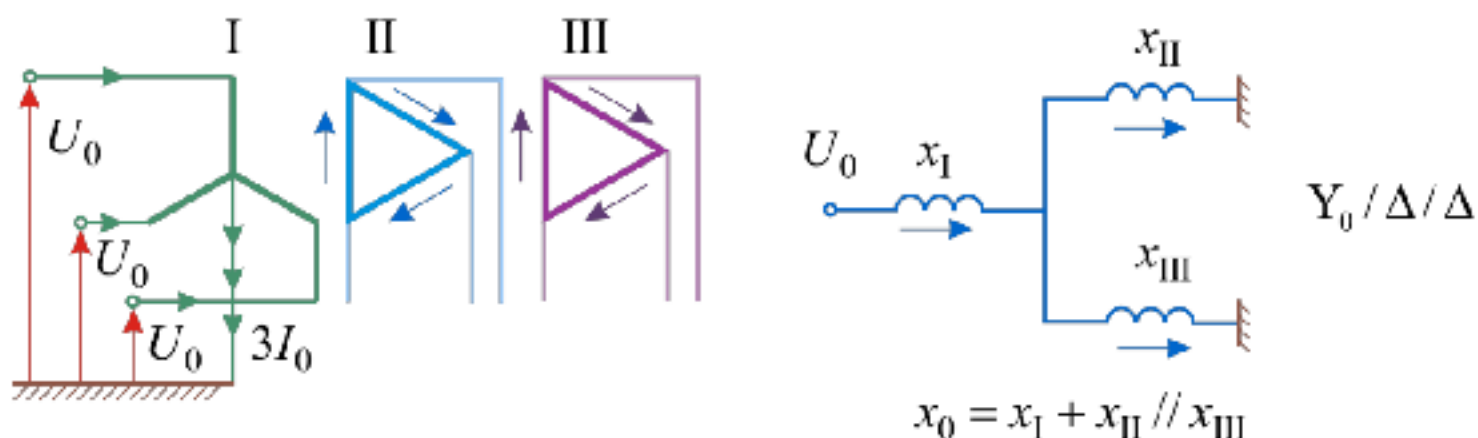
**7. Схема замещения автотрансформатора** (**рис. 6.6, а**) повторяет схему замещения трехобмоточного трансформатора (**рис. 6.5, а**) с аналогичным соединением обмоток. Нужно иметь в виду, что непосредственно из схемы замещения нулевой последовательности автотрансформатора нельзя получить ток, протекающий в его нейтрали. При указанных на **рис. 6.6** направлениях токов искомый **ток в нейтрали равен утроенной разности токов нулевой последовательности первичной и вторичной цепей, т. е.  $I_N = 3(I_{0I} - I_{0II})$** , причем каждый из них должен быть приведен к своей ступени напряжения, а не к какой-либо одной, для которой составлена схема замещения.



*a*



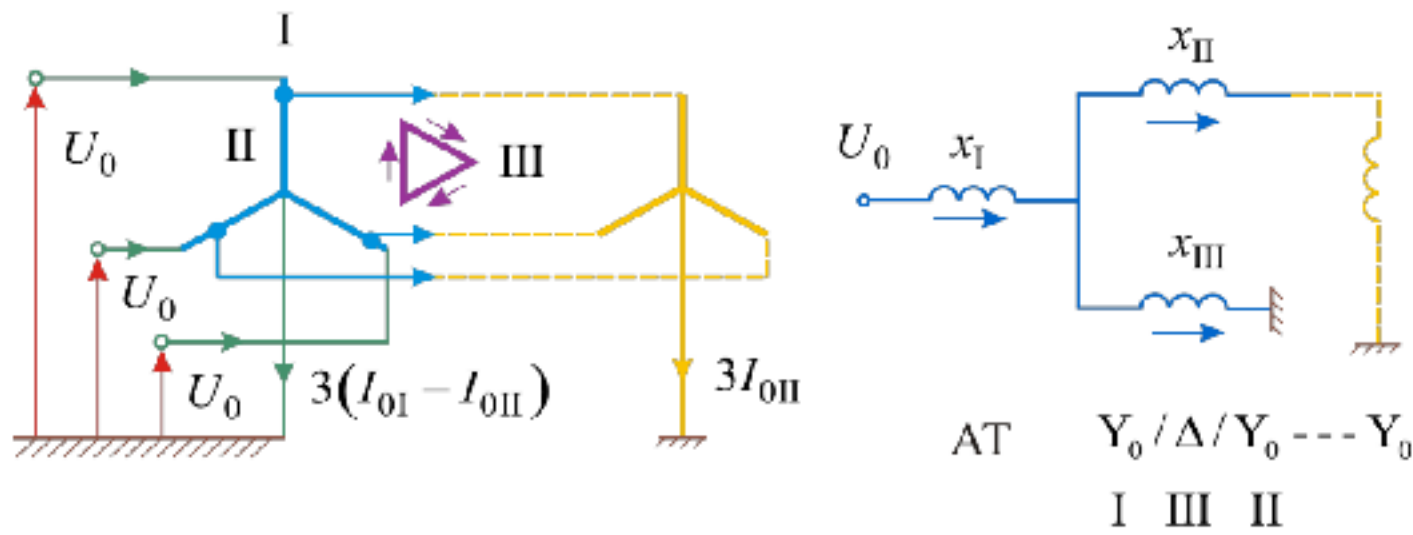
*b*



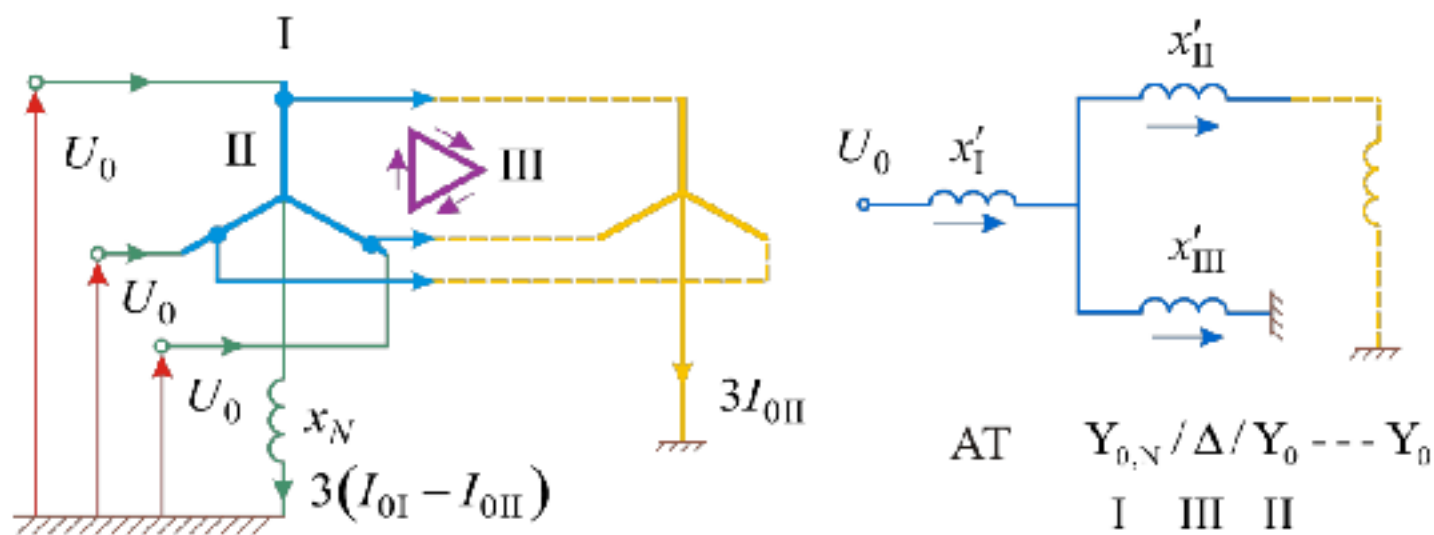
*c*

Рис. 6.5. Трехобмоточные трансформаторы. Схемы замещения нулевой последовательности для различных вариантов соединения обмоток

Особый случай представляет схема замещения автотрансформатора с заземленной нейтралью через реактивность  $X_N$  (рис. 6.6, б).



*a*



*б*

Рис. 6.6. Автотрансформаторы. Схемы замещения нулевой последовательности для разных вариантов соединения обмоток

Реактивности схемы замещения определяются по выражениям [1]:

$$\left. \begin{aligned} x'_I &= x_I + 3x_N \left( 1 - \frac{U_I}{U_{II}} \right); \\ x'_{II} &= x_{II} + 3x_N \frac{(U_I - U_{II})U_I}{U_{II}^2}; \\ x'_{III} &= x_{III} + 3x_N \frac{U_I}{U_{II}}, \end{aligned} \right\} \quad (6.16)$$

где реактивность  $x_N$  в относительных или именованных единицах приведена к базисному напряжению ступени I. У автотрансформатора без третьей обмотки разземление нейтрали приводит к тому, что в схеме нулевой последовательности он оказывается в режиме холостого хода. Его реактивность  $x_{\mu 0} = \infty$ .

#### **6.2.4. Воздушные и кабельные линии**

*Реактивное сопротивление нулевой последовательности  $X_0$  воздушных линий (ВЛ) существенно отличается от сопротивления прямой последовательности за счет иного проявления взаимоиндукции. Токи нулевой последовательности, протекая по ВЛ, замыкаются на землю через заземленные нейтрали трансформаторов. В качестве обратного провода служит земля и грозозащитные тросы (рис. 6.7, б).*



Фото 22.

**Анкерная опора двухцепной ЛЭП 220 кВ**

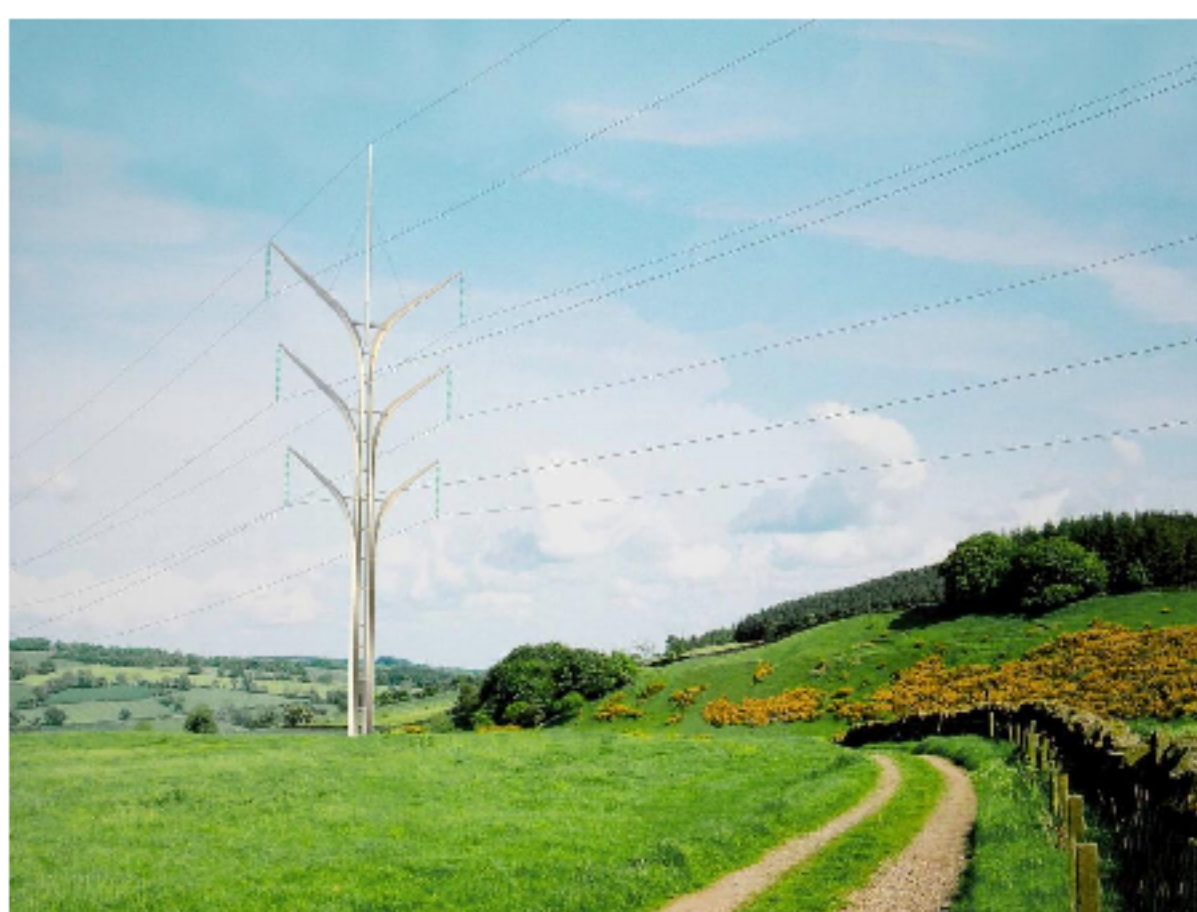


Фото 23.

**Опора будущего (фантазия)**



Фото 24.

**ОРУ Саяно-Шушенской ГЭС**

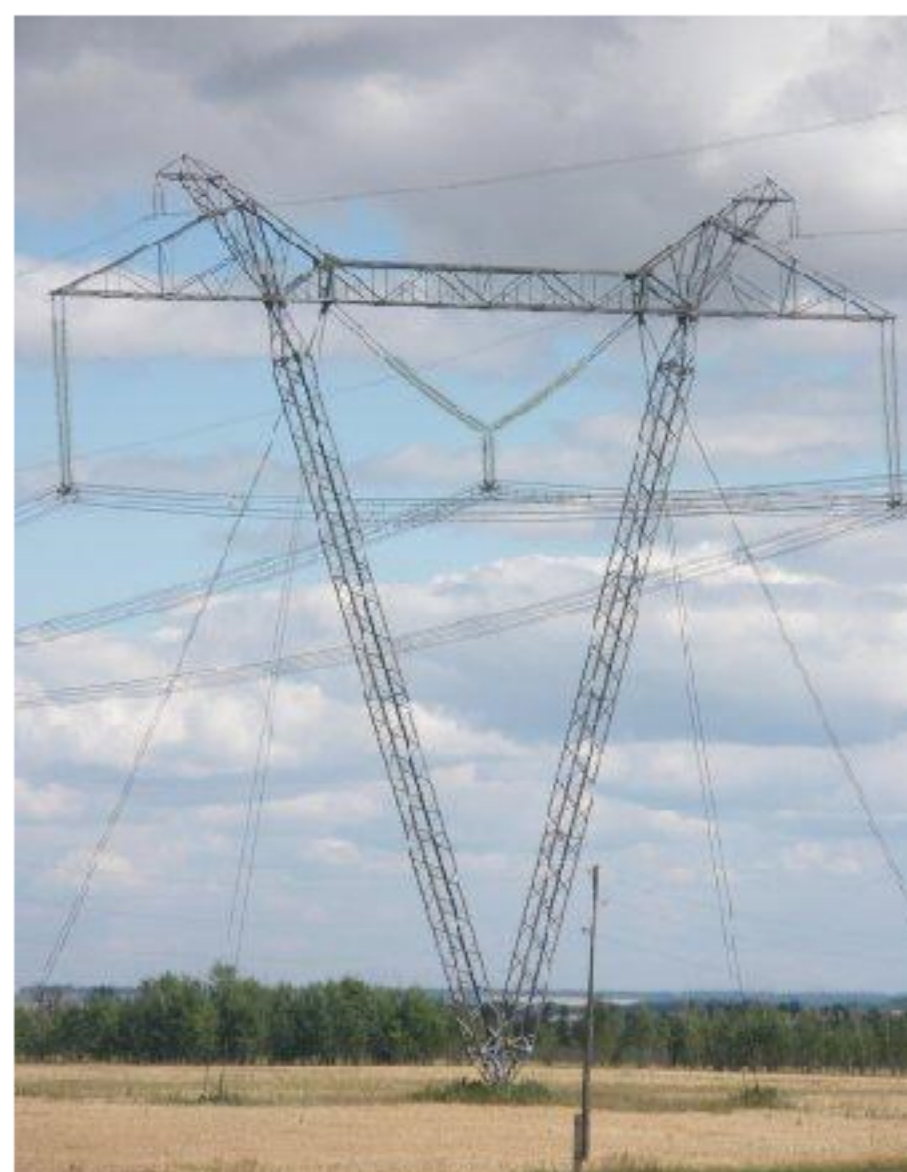


Фото 25.

**ЛЭП 1150 кВ с двумя грозозащитными тросами**

Основная трудность вычисления реактивности  $X_0$  связана с учетом распределенного характера протекания тока в земле. Ближайший к поверхности слой бывает менее проводящим, чем более глубокий водоносный слой. В этих условиях

большая часть тока нулевой последовательности возвращается по глубинным слоям; по мере приближения к поверхности плотность тока увеличивается. Действительную картину распределения тока в земле заменяют эквивалентной, в которой считают, что весь ток возвращается по единичной трубке, расположенной от поверхности земли на глубине  $D_3$ . Для моделирования этих условий трехфазная линия представляется тремя двухпроводными линиями «провод-земля».

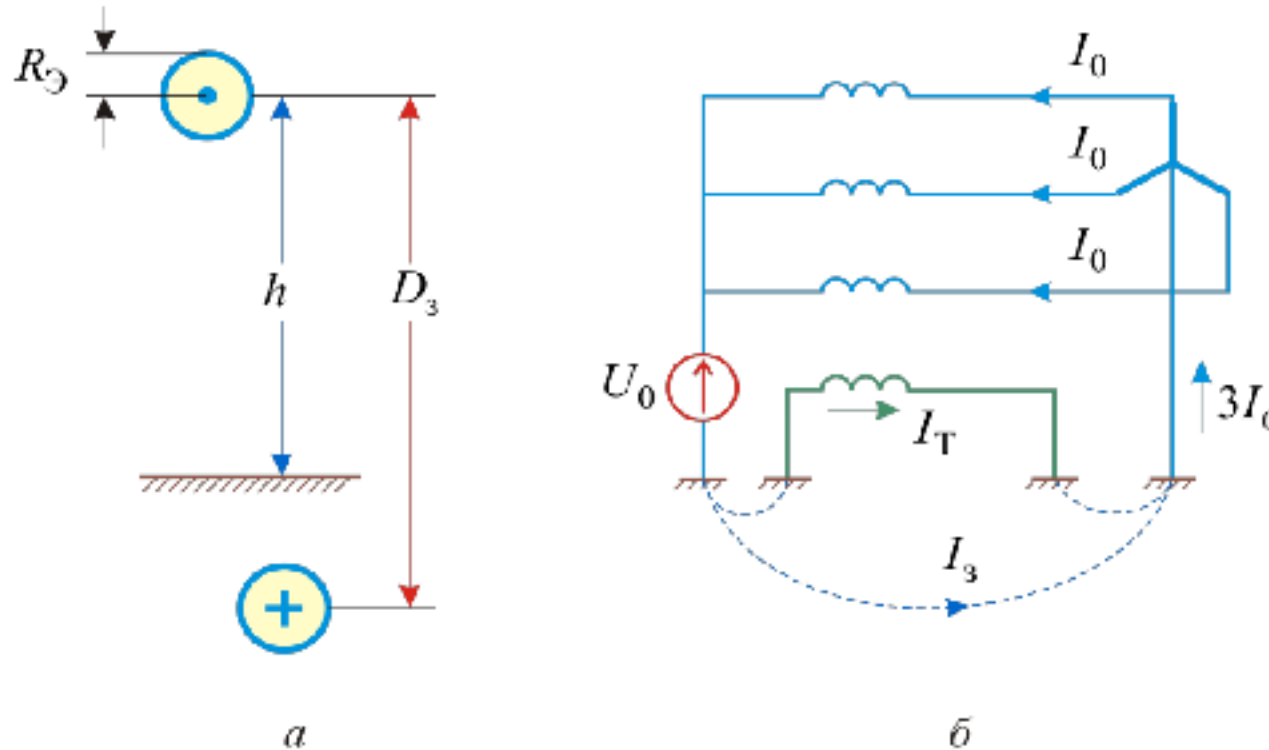


Рис. 6.7. К определению  $x_0$  ВЛ: **а** – однопроводная линия «провод-земля»; **б** – пути протекания тока  $I_0$  одноцепной ВЛ с тросом

Учитывая, что  $D_3$  существенно больше высоты подвеса проводов ( $h$ ), расстояние между прямым и обратным проводом таких линий принимается равным  $D_3$  и определяется формулой Карсона (рис. 6.7, а)

$$D_3 = 2.085 \cdot 10^{-3} / \sqrt{f \lambda 10^{-9}} \text{ (м)}, \quad (6.17)$$

где  $f$  – частота тока, Гц;  $\lambda$  – удельная проводимость земли  $(\text{Ом} \cdot \text{см})^{-1}$ .

При  $f = 50$  Гц и среднем значении  $\lambda = 10^{-4} (\text{Ом} \cdot \text{см})^{-1}$  эквивалентная глубина возврата тока через землю  $D_3 = 935$  м. В практических расчетах величину  $D_3$  принимают равной **1000** м.

Возьмём участок воздушной линии электропередачи и заземлим один из её концов. Потенциал заземленного конца будет равен нулю. Пропустим через этот участок симметричную систему токов нулевой последовательности  $I_{a0} = I_{b0} = I_{c0} = I_0$ , тогда потенциал незаземленного конца участка запишется так:

$$U_0 = (I_0 x_L + I_0 x_M + I_0 x_M) = I_0 (x_L + 2x_M).$$

Отношение этого напряжения нулевой последовательности к фазному току  $I_0$  даёт выражение для  $X_0$  при  $r_0 = 0$

$$(6.18) \quad X_0 = U_0 / I_0 = (x_L + 2x_M), \quad (6.18)$$

где  $x_L$ ,  $x_M$  – реактивное сопротивление собственной и взаимной индукции.

При тех же условиях, пропуская симметричную систему токов прямой последовательности,

$$I_{a1}, \quad I_{b1} = a^2 I_{a1}, \quad I_{c1} = a I_{a1},$$

имеем

$$U_{a1} = (I_{a1}x_L + a^2 I_{a1}x_M + a I_{a1}x_M) = I_{a1}(x_L - x_M).$$

Отношение фазного напряжения прямой последовательности незаземлённого конца ВЛ ( $U_{a1}$ ) к току  $I_{a1}$  даёт выражение для реактанса

$$x_1 = U_{a1} / I_{a1} = (x_L - x_M). \quad (6.19)$$

Сравнение структурных выражений (6.18) и (6.19) показывает, что  $x_0$  на  $3x_M$  больше  $x_1$ . Это обусловлено различием характера токов: токи нулевой последовательности совпадают по фазам; токи прямой последовательности имеют сдвиг в  $120^\circ$ .

Для аналитического расчета  $x_0$  одноцепной ВЛ без троса можно пользоваться выражением

$$x_0 = 0,435 \cdot \lg \frac{D_3}{R_{cp}}, \quad (6.20)$$

где  $R_{cp} = \sqrt[3]{R_3 D_{ci}}$  – средний геометрический радиус системы трех проводов;

$D_{cp} = \sqrt[3]{d_{AB} d_{AC} d_{BC}}$  – среднее геометрическое расстояние между фазными проводами;

$R_3$  – эквивалентный радиус провода.

При наличии на линии глухозаземленных грозозащитных тросов сопротивление  $x_0$  уменьшается за счет взаимоиндукции петли трос-провод. С учётом того, что токи в тросе и линии имеют встречное направление – сдвинуты относительно друг друга на  $180^\circ$  (рис. 6.7, б), получаем

$$x_0^T = x_0 - \frac{x_{0pm}^2}{x_{0T}}, \quad (6.21)$$

где  $x_0^T$  – сопротивление нулевой последовательности ВЛ с тросом;

$x_{0pm}$ ,  $x_{0T}$  – сопротивления взаимоиндукции провод-трос и собственно троса в нулевой последовательности.

Степень влияния троса зависит от его проводимости (стальной, алюминиевый).

Обратимся к двухцепной ВЛ (рис. 6.8). При коротком замыкании

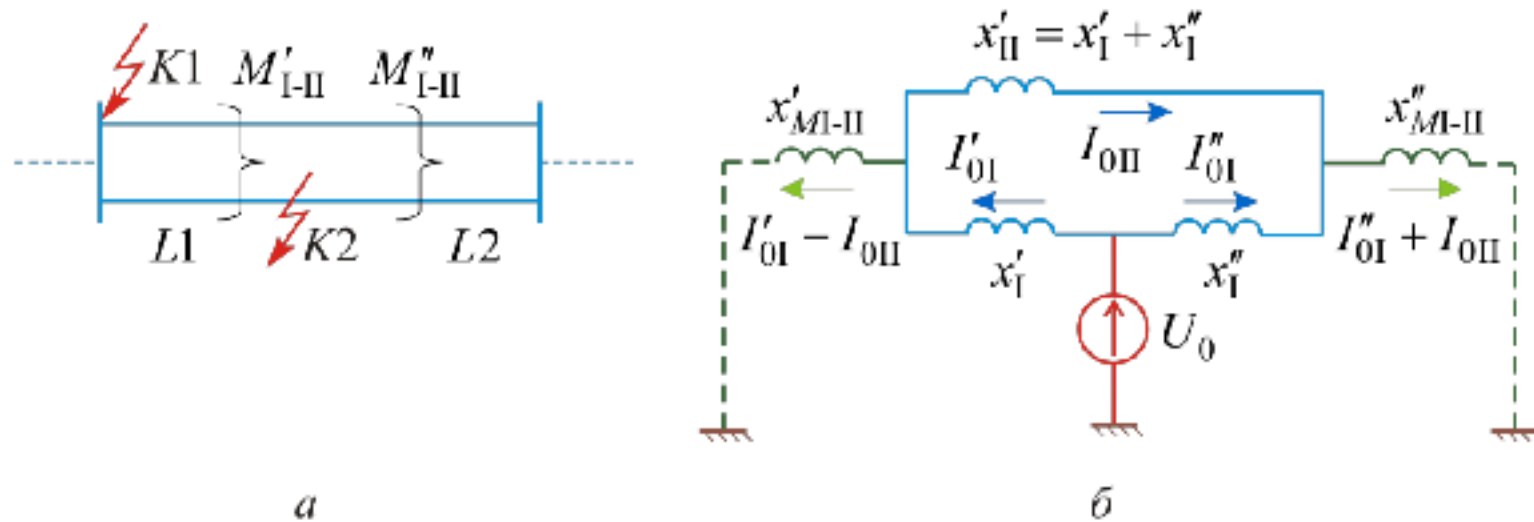


Рис. 6.8. Двухцепная ВЛ: **а** – принципиальная схема; **б** – схема замещения нулевой последовательности при КЗ в точке **K2**

в точке **K1** токи нулевой последовательности в обеих цепях текут согласно. В этих условиях сопротивление нулевой последовательности каждой цепи дополнительно увеличивается благодаря взаимоиндукции с проводами параллельной цепи, т. е.

$$X'_0 = X_0 + X_{M(I-II)} \quad (6.22)$$

и результирующее сопротивление двухцепной ВЛ при идентичности параллельных цепей

$$X''_0 = 0,5X'_0, \quad (6.23)$$

где  $X_0$  – сопротивление нулевой последовательности одноцепной ВЛ;

$X_{M(I-II)}$  – сопротивление взаимоиндукции одной фазы цепи I и тремя фазами цепи II.

При коротком замыкании в точке **K2** двухцепной ВЛ токи нулевой последовательности цепей I и II в одном плече имеют согласное направление, а в другом – встречное, что не позволяет непосредственно воспользоваться выражениями, подобными (6.22). В этих условиях необходимо воспользоваться известной схемой замещения двух магнитно связанных цепей (рис. 6.8, б), на которой приняты следующие обозначения:

$$X'_I = X'_{0I} - X'_{M(I-II)}, \quad X''_I = X''_{0I} - X''_{M(I-II)}, \quad (6.24)$$

где  $X'_{0I}$ ,  $X''_{0I}$  – сопротивления нулевой последовательности одноцепной ВЛ на участках **L1** и **L2**;

$X'_{M(I-II)}$ ,  $X''_{M(I-II)}$  – сопротивления взаимоиндукции цепей на участках **L1** и **L2**.

Аналитические выражения для расчета  $X_0$  воздушных линий с учетом конструктивных особенностей приведены в [1].

В упрощенных практических расчетах сопротивление нулевой последовательности  $X_0$  воздушных линий электропередач допускается определять через коэффициент  $k = x_0 / x_1$ , значение которого зависит от их конструктивного исполнения. Приближенные значения коэффициентов приведены в табл. 6.1.

Таблица 6.1

Исполнение воздушной линии электропередачи	$k = X_0 / X_1$
Одноцепная линия без троса	3.5
Одноцепная линия со стальным тросом	3.0
Одноцепная линия с хорошо проводящим тросом	2.0
Двухцепная линия без троса	5.5
Двухцепная линия со стальным тросом	4.7
Двухцепная линия с хорошо проводящим тросом	3.0

Активное сопротивление нулевой последовательности линии складывается из активного сопротивления провода  $r_p$  и дополнительного сопротивления  $r_z$ , учитывющего потери активной мощности в земле от протекания в ней тока, т. е.

$$r_0 = r_p + r_z, \quad (6.25)$$

где  $r_z \approx 0,15$  Ом/км.

Условия определения реактивного сопротивления нулевой последовательности для кабельных линий аналогичны ВЛ. Часть токов нулевой последовательности возвращается по оболочке кабеля, а часть – по земле. Оболочка кабеля оказывает такое же влияние, как и трос в воздушных линиях, т. е. уменьшает реактанс нулевой последовательности. В зависимости от конструкции, материала оболочки, способа прокладки  $X_0$  кабельных линий находится в пределах

$$X_0 = (3,5 \div 4,6) X_1 \text{ и } r_0 \approx 10r_1. \quad (6.26)$$

На эти значения можно ориентироваться в приближенных расчетах; более точные данные можно получить только на основе натурных измерений, которые можно найти в специализированной литературе.

### 6.3. Схемы замещения прямой, обратной и нулевой последовательностей

Неотъемлемым этапом расчета любого несимметричного режима является составление схем замещения прямой, обратной и нулевой последовательностей. Преобразованием этих схем находят результирующие сопротивления всех последовательностей ( $X_{1\Sigma}, X_{2\Sigma}, X_{0\Sigma}$ ); из схемы прямой последовательности дополнительно определяют эквивалентную ЭДС ( $E_{1\Sigma}$ ). Эти преобразования осуществляют относительно **клемм несимметрии, т. е. начала и конца схем**. При поперечной несимметрии началом схемы прямой, обратной и нулевой последовательностей являются точки ( $H_1, H_2, H_0$ ), в которых объединены ветви с нулевым потенциалом. Концом схемы любой последовательности являются точки ( $K_1, K_2, K_0$ ) возникновения несимметрии. При продольной несимметрии начало и конец схемы каждой последовательности – это две точки схемы, между которыми расположен источник несимметрии.

Для примера на **рис. 6.9** представлены схемы замещения всех трех последовательностей при несимметричном замыкании в точке  $K$ .

**1. Схема прямой последовательности** совершенно аналогична схеме при трехфазном замыкании с тем отличием, что в точке  $K$  приложено напряжение  $U_{K1}$ . Обмотка 3 трансформатора T2 в схему не входит, поскольку она находится на холостом ходу. В силу симметрии режима ток в нейтрали трансформатора T1 не протекает и, следовательно, реактор Р в схеме замещения отсутствует.

**2. Схема обратной последовательности** по конфигурации повторяет схему прямой последовательности. Ее особенность состоит в том, что отсутствуют ЭДС генерирующих источников; в точке КЗ приложено напряжение обратной последовательности ( $U_{K_2}$ ), и сопротивления синхронных машин отличны от сопротивлений прямой последовательности.

**3. Схема нулевой последовательности** существенно отличается от схемы прямой последовательности в силу различных путей циркуляции токов. Конфигурация схемы нулевой последовательности определяется в основном схемой соединения обмоток трансформаторов и их местом расположения. Составление схемы следует начинать от места короткого замыкания, считая, что в этой точке все фазы замкнуты между собой и к ней приложено напряжение нулевой последовательности ( $U_{K_0}$ ). Далее следует выявить возможные пути протекания токов нулевой последовательности. Это возможно, если в цепи, электрически связанной с точкой КЗ, имеется по меньшей мере одна заземленная нейтраль. Если таких нейтралей несколько, то образуется несколько замкнутых контуров.

**Сопротивление, через которое заземлена нейтраль трансформатора, вводится в схему утроенной величиной и располагается последовательно с сопротивлением той обмотки, в нейтрали которой оно находится.** Это обусловлено тем, что в нейтрали протекает утроенный ток и падение напряжения нулевой последовательности на сопротивлении реактора составляет  $3I'_0 \cdot X_p$ . Оно должно быть обеспечено и в однолинейной схеме замещения, по которой протекает фазный ток. Это достигается утвоением сопротивления нейтрали, так что падение напряжения при этом остаётся неизменным, т. е.  $I'_0 \cdot 3X_p$ . Сопротивление нулевой последовательности линии существенно отличается от сопротивления прямой, поэтому оно введено значением  $X_{L0}$ .

Для рассматриваемой схемы, изображенной на **рис. 6.9,г**, обмотки трансформаторов Т1 и Т2, соединённые в треугольник ( $\Delta$ ), входят в схему нулевой последовательности. Потенциал за этими обмотками равен нулю. По этой причине генератор Г в схеме отсутствует. Все остальные элементы входят в схему, включая и реактор в нейтрали Т1.

Как отмечалось ранее, из схем замещения отдельных последовательностей определяются их эквивалентные параметры относительно клемм несимметрии.

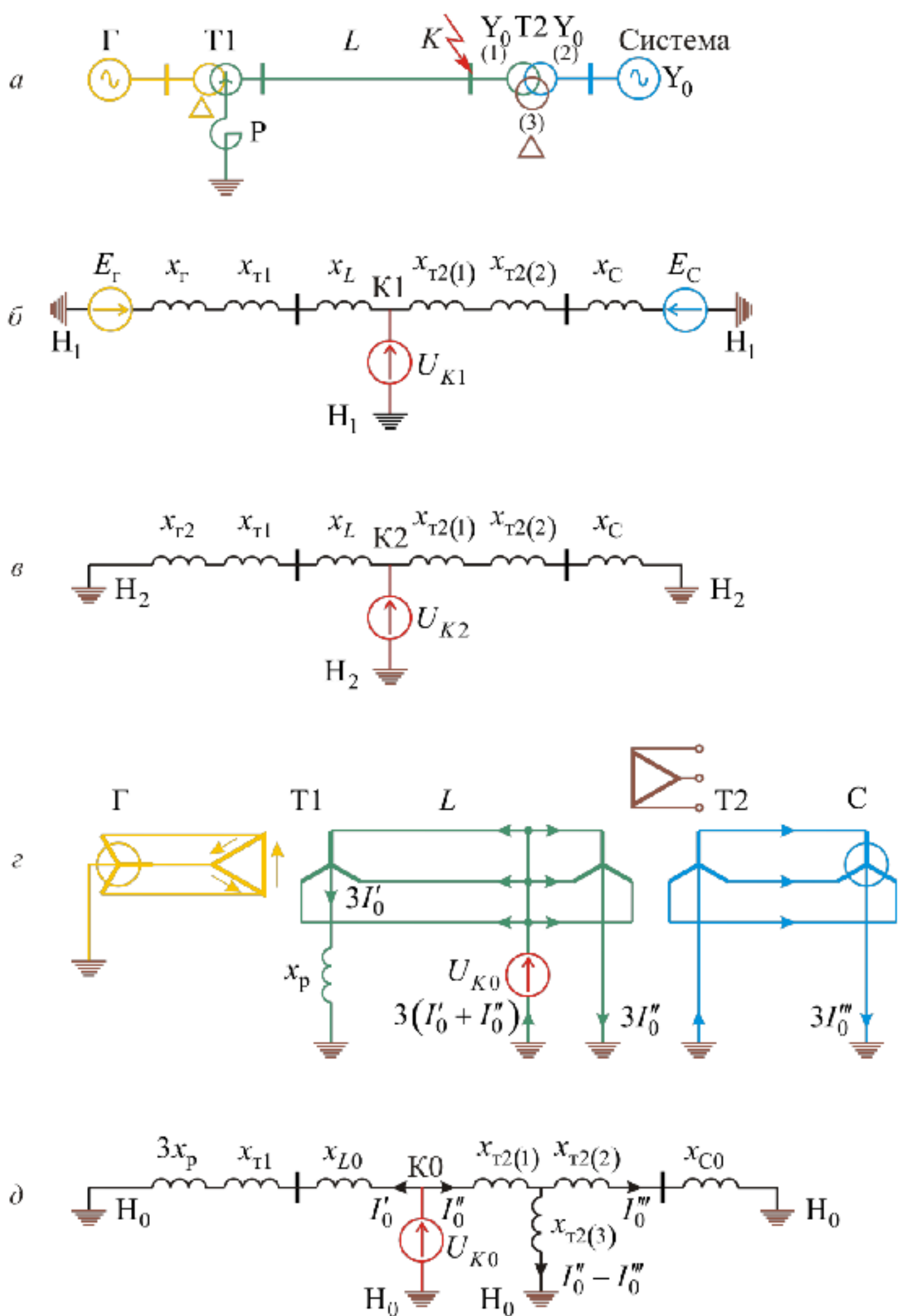


Рис. 6.9. Схемы замещения различных последовательностей:  
**а** – принципиальная схема; **б, в** – схемы прямой и обратной последовательностей; **г, д** – трехлинейная и однолинейная схемы нулевой последовательности

Применимально к схемам замещения, изображенным на рис. 6.9, имеем эквивалентные схемы **1**, **2**, **0** последовательностей (рис. 6.10). Параметры этих схем определяются так:

- для схемы прямой последовательности:

$$X_{A1} = X_\Gamma + X_{T1} + X_L, \quad X_{B1} = X_{T2(1)} + X_{T2(2)} + X_C;$$

$$X_{1\Sigma} = X_{A1} // X_{B1}, \quad E_{1\Sigma} = \frac{E_\Gamma X_{B1} + E_C X_{A1}}{X_{A1} + X_{B1}};$$

- для схемы обратной последовательности:

$$X_{A2} = X_{\Gamma 2} + X_{T1} + X_L, \quad X_{B2} = X_{T2(1)} + X_{T2(2)} + X_C, \quad X_{2\Sigma} = X_{A2} // X_{B2};$$

- для схемы нулевой последовательности:

$$X_{A0} = 3X_p + X_{T1} + X_{L0}, \quad X_{B0} = \left[ X_{T2(3)} // (X_{T2(2)} + X_{C0}) \right] + X_{T2(1)};$$

$$X_{0\Sigma} = X_{A0} // X_{B0}.$$

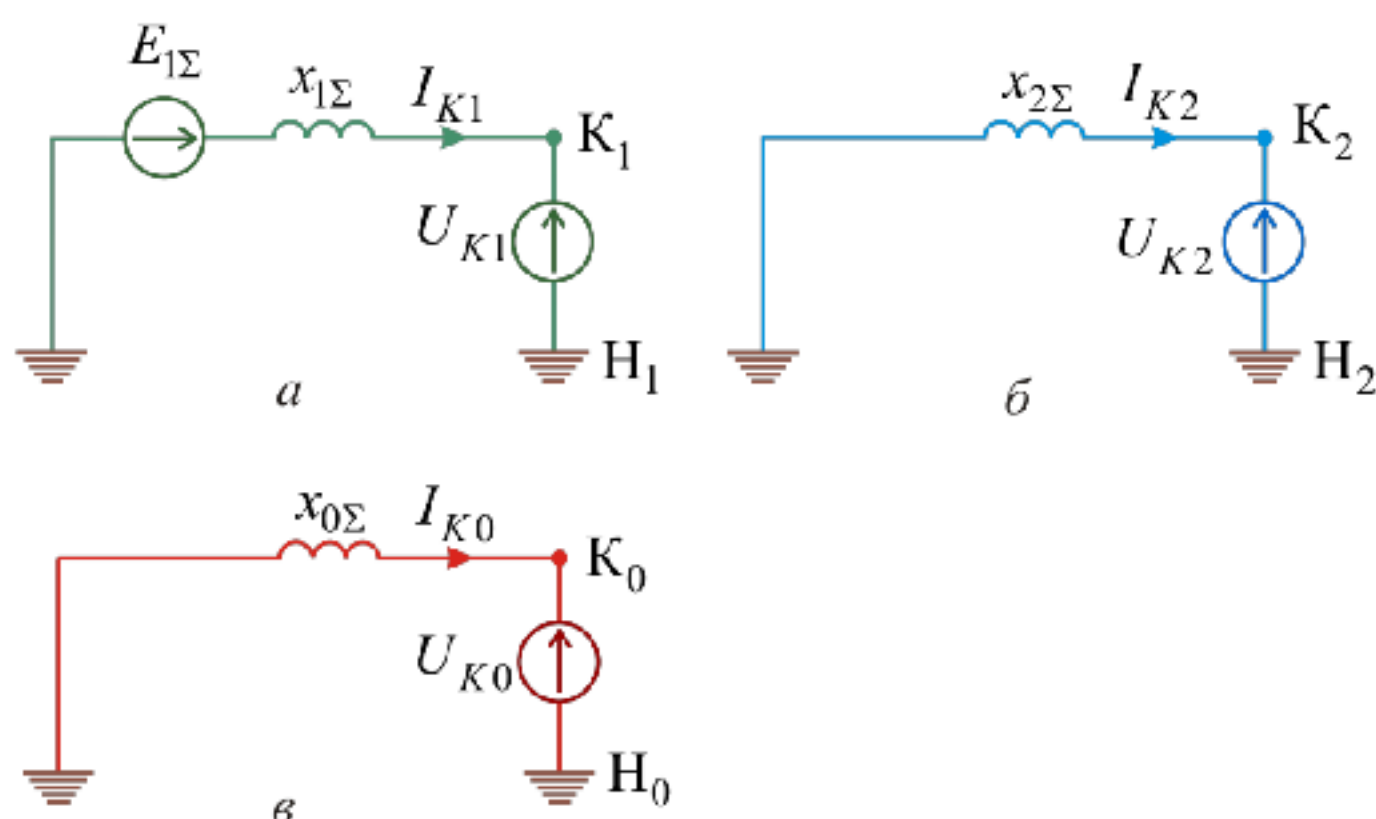


Рис. 6.10. Эквивалентные схемы прямой (а), обратной (б) и нулевой (в) последовательностей

На рис. 6.11, а приведена схема, в которой элементы обозначены порядковыми номерами, на рис. 6.11, б – соответствующая ей схема замещения нулевой последовательности. Обмотки трансформаторов со стороны генераторов соединены в «треугольник». Это препятствует прохождению токов нулевой последовательности в генераторах при внешних коротких замыканиях. Обмотка 5 (Y) трансформатора T2 со стороны узла возникновения короткого замыкания не пропускает токов нулевой последовательности, поэтому она и последовательная ей ветвь воздушной

линии  $L2$  в схеме отсутствуют. Это в равной степени относится и к трансформатору  $T3$ . Реактор (7) в нейтрали обмотки 6 трансформатора  $T2$  входит в схему утроенным реактансом и располагается последовательно с сопротивлением этой обмотки (6). Трансформатор  $T4$  входит в схему всеми тремя обмотками.

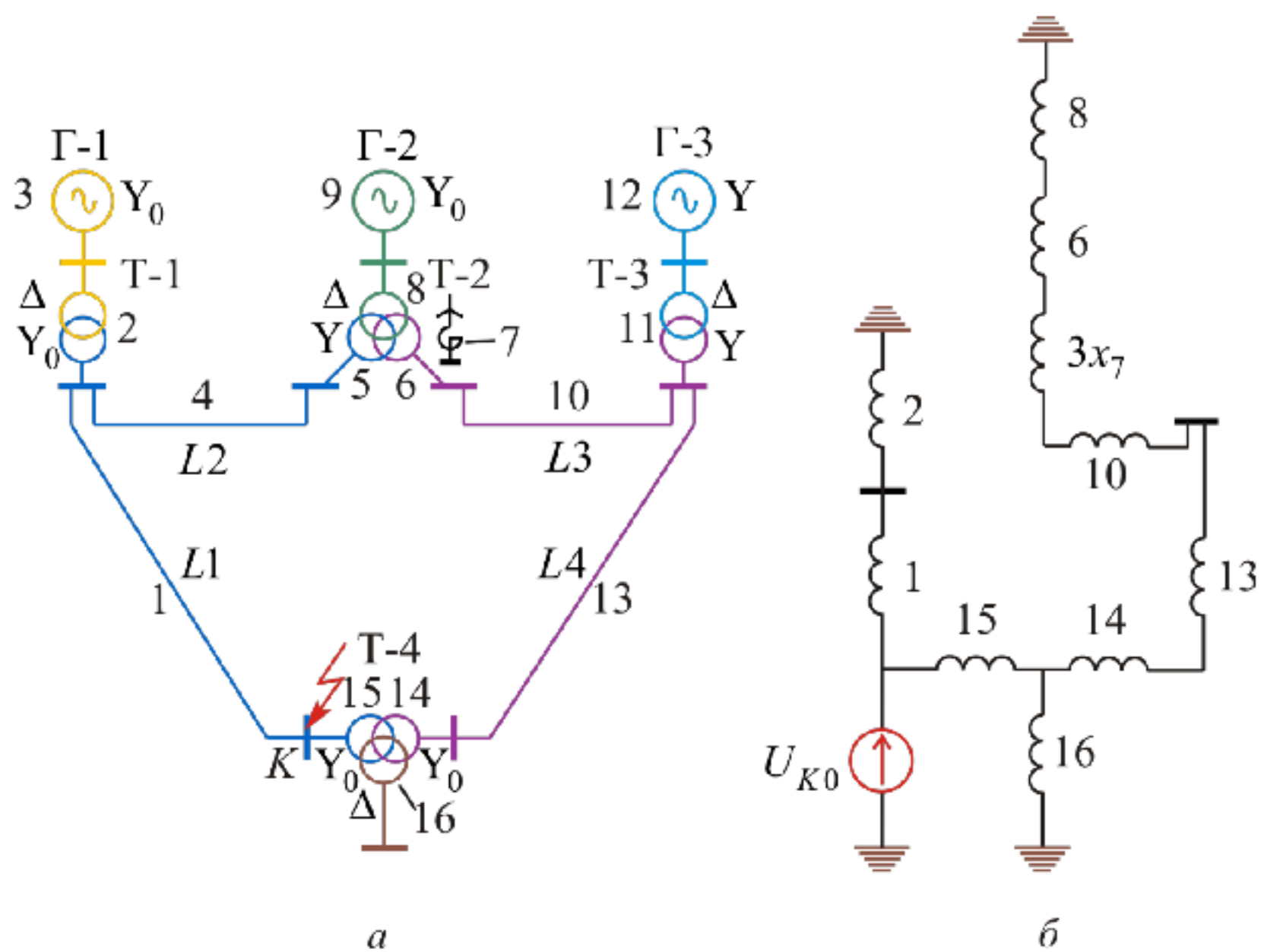


Рис. 6.11. Пример схемы нулевой последовательности: **а** – принципиальная схема; **б** – схема замещения нулевой последовательности